



## Investigating the effectiveness of data mining methods in predicting daily reference evapotranspiration (Case study: Coastal strip stations in southern Iran)

Halimeh Piri 

Associate Professor, Department of Water Engineering, Faculty of Water and Soil, University of Zabol  
Email: [h\\_piri2880@uoz.ac.ir](mailto:h_piri2880@uoz.ac.ir)

---

### ARTICLE INFO

**Article type:**

Research Article

**Article History:**

Received March 25, 2024

Revised May 07, 2024

Accepted June 05, 2024

**Keywords:**

*decision tree,  
gaussian process  
regression,  
random forest,  
support vector machine,  
Principal Component  
Analysis.*

---

### ABSTRACT

Reference evapotranspiration is one of the important hydrological parameters in agricultural research and water and soil protection. For this reason, its estimation and modeling are of special importance. Non-linear relationships, inherent uncertainty, and the need for a lot of climate information in estimating evapotranspiration have made researchers use data-mining methods to estimate evapotranspiration in recent decades. The purpose of this research is to investigate the efficiency of data mining methods included in support vector machine, decision tree, random forest and Gaussian process regression in forecasting the daily reference evapotranspiration of coastal strip stations in the south of the country (Chabahar, Bandar Abbas, Bushehr and Abadan). To do the work, daily reference evapotranspiration was calculated using 20-year climatic data (2001-2021) using the FAO-Penman-Monteith method. Then, using these data as output data, 6 combined scenarios were evaluated based on the correlation between meteorological variables and reference evapotranspiration using data mining methods (Support vector machine, Decision tree, Random forest and Gaussian regression process). The results of the investigations showed that all four data mining methods were able to estimate the reference evapotranspiration values in the studied areas. In all four stations, the Gaussian process regression method with the highest R<sup>2</sup> value and the lowest RMSE and MAE values had a better estimate of the reference evapotranspiration values, and random forest, decision tree, and support vector machine methods were in the next ranks respectively. Among the examined patterns, in Chabahar pattern 6 with the combination of minimum temperature, maximum temperature, average temperature, relative humidity, solar radiation and wind speed variables, in Bandar Abbas and Bushehr pattern 4 with the combination of minimum temperature, maximum temperature, average temperature and relative humidity and in Abadan pattern 3 with the combination of minimum temperature, maximum temperature and average temperature parameters had the best estimate. Considering the high accuracy of the Gaussian process regression model in estimating reference evapotranspiration, this method is recommended for estimating reference evapotranspiration in coastal stations of southern Iran.

---

**Cite this article:** Piri, H. (2024). Investigating the effectiveness of data mining methods in predicting daily reference evapotranspiration (Case study: Coastal strip stations in southern Iran). *ECO HYDROLOGY*. 11 (2), 271-286.  
Doi: [doi.org/10.22059/IJE.2024.375755.1816](https://doi.org/10.22059/IJE.2024.375755.1816)



© Halimeh Piri.

DOI: <http://10.22059/IJE.2024.375755.1816>

**Publisher:** University of Tehran Press.

## بررسی کارایی روش‌های داده‌کاوی در پیش‌بینی تبخیر-تعرق مرجع روزانه (مطالعه موردی: ایستگاه‌های نوار ساحلی جنوب ایران)

حليمه پيري

دانشیار، گروه مهندسی آب و خاک، دانشگاه زابل، زابل، ایران. رایانمه: h\_piri2880@uoz.ac.ir

اطلاعات مقاله	چکیده
نوع مقاله: پژوهشی	تبخیر-تعرق مرجع یکی از پارامترهای مهم هیدرولوژیکی در تحقیقات کشاورزی و حفاظت آب و خاک است. به همین دلیل برآورد و مدل‌سازی آن از اهمیتی ویژه برخوردار است. روابط غیرخطی، عدم قطعیت ذاتی و نیاز به اطلاعات اقلیمی فراوان در برآورد تبخیر-تعرق باعث شده است پژوهشگران در دهه‌های اخیر از روش‌های داده‌کاوی برای برآورد تبخیر-تعرق استفاده کنند. هدف از این تحقیق بررسی کارایی روش‌های داده‌کاوی ماشین بردار پشتیبان، درخت تصمیم، جنگل تصادفی و رگرسیون فرایند گاووسی در پیش‌بینی تبخیر-تعرق مرجع روزانه برخی از ایستگاه‌های نوار ساحلی جنوب کشور شامل چابهار، بندرعباس، بوشهر و آبادان است. برای انجام کار با استفاده از داده‌های اقلیمی ۲۰ ساله (۱۳۸۰-۱۴۰۰)، تبخیر-تعرق مرجع روزانه به روش فائق-پنمن-مانتیث محاسبه شد. سپس با استفاده از این داده‌ها به عنوان داده‌های خروجی، ۶ سناریو ترکیبی براساس همبستگی بین متغیرهای هواشناسی و تبخیر-تعرق مرجع از طریق روش‌های داده‌کاوی ماشین بردار پشتیبان، درخت تصمیم، جنگل تصادفی و فرایند رگرسیون گاووسی مورد ارزیابی قرار گرفتند. نتایج بررسی‌ها نشان داد هر چهار روش داده‌کاوی در مناطق مورد مطالعه به خوبی توانسته‌اند مقادیر تبخیر-تعرق مرجع را برآورد کنند. در هر چهار ایستگاه، روش رگرسیون فرایند گاووسی با داشتن بالاترین مقدار $R^2$ و کمترین مقادیر RMSE و MAE برآورد بهتری از مقادیر تبخیر-تعرق مرجع داشتند و روش‌های جنگل تصادفی، درخت تصمیم و ماشین بردار پشتیبان به ترتیب در رتبه‌های بعدی قرار گرفتند. از بین الگوهای مورد بررسی، در چابهار الگوی ۶ با ترکیب متغیرهای دمای حداقل، دمای میانگین، رطوبت نسبی، تابش خورشیدی و سرعت باد، در بندرعباس و بوشهر الگوی ۴ با ترکیب متغیرهای دمای حداقل، دمای حداقل، دمای میانگین و رطوبت نسبی و در آبادان الگوی ۳ با ترکیب متغیرهای دمای حداقل، دمای حداقل و دمای میانگین بهترین برآورد را داشتند. با توجه به دقت بالای مدل رگرسیون فرایند گاووسی در برآورد تبخیر-تعرق مرجع، این روش برای برآورد تبخیر-تعرق مرجع در ایستگاه‌های نوار ساحلی جنوب ایران توصیه می‌شود.
تاریخ‌های مقاله: تاریخ دریافت: ۱۴۰۳/۰۱/۱۵ تاریخ بازنگری: ۱۴۰۳/۰۲/۲۱ تاریخ پذیرش: ۱۴۰۳/۰۳/۱۸	
کلیدواژه‌ها: جنگل تصادفی، درخت تصمیم، رگرسیون فرایند گاووسی، ماشین بردار پشتیبان، مؤلفه‌های اصلی.	

استناد: پيري، حليمه. (۱۴۰۳). بررسی کارایی روش‌های داده‌کاوی در پیش‌بینی تبخیر-تعرق مرجع روزانه (مطالعه موردی: ایستگاه‌های نوار ساحلی جنوب ایران). *آف هیدرولوژی*, ۱۱(۲)، ۲۷۱-۲۸۶.

DOI: <http://doi.org/10.22059/IJE.2024.375755.1816>

ناشر: مؤسسه انتشارات دانشگاه تهران.

DOI: <http://doi.org/10.22059/IJE.2024.375755.1816>

© حليمه پيري.



## ۱. مقدمه

تعیین آب مصرفی گیاهان باغی و زراعی در مناطق خشک و نیمه‌خشک، برنامه‌ریزی آبیاری، تقسیم آب، حقابه‌ها و تهیه و تنظیم اسناد ملی آبیاری همگی بر اساس تبخیر-تعرق است. همچنین در طراحی انواع سازه‌های انتقال آب، کنترل سیلاب در طرح‌های آبیاری و زهکشی و حتی مصارف آب شهری، نیاز مبرمی به آگاهی از مقدار صحیح تبخیر-تعرق است. برآورده تبخیر-تعرق مرجع در طرح‌های آبیاری و زهکشی برای تعیین میزان آب مصرفی طرح‌ها بسیار ضروری است. یکی از راهکارهای اساسی برای برآورده مقدار آب مورد نیاز محصولات کشاورزی، دانستن روابط بین وضعیت آبوهواهی و تبخیر-تعرق است [۱]. برآورده تبخیر-تعرق به روش‌های مختلف انجام می‌شود. یکی از روش‌ها ضرب تبخیر-تعرق مرجع در ضریب گیاهی است. بنابراین به دست آورده تبخیر-تعرق مرجع ضروری است. مقدار تبخیر-تعرق گیاه مرجع را می‌توان به صورت مستقیم، بهوسیله لایسیمتر و غیرمستقیم (روش‌های آبودینامیک، توان انرژی و ترکیبی) و یا از طریق روش‌های تجربی به دست آورد. به علت مشکلات احداث، نیاز به دقت بالا، انجام آزمایش‌های متعدد و هزینه نسبتاً زیاد، استفاده از روش‌های غیرمستقیم براساس اطلاعات هواشناسی ضرورت پیدا می‌کند. روش‌های تجربی براساس آنالیزهای آماری و مشاهدات ایستگاه‌های هواشناسی و معمولاً برای یک منطقه یا وضعیت آبوهواهی یا اقلیمی خاص ارائه می‌شوند [۲]. مدل‌های فیزیکی بیشتر هدف‌شان شبیه‌سازی اصول بنیادی مثل تعادل انرژی و جابجایی جرم است. برای مثال تابش خورشیدی، رطوبت نسبی و سرعت باد، تعدادی از داده‌های مهم برای محاسبه تبخیر-تعرق مرجع براساس مدل‌های فیزیکی هستند [۳].

روش فائق-پنمن-مانتیث، یکی از روش‌های ترکیبی برای تخمین تبخیر-تعرق گیاه مرجع است که در آن گیاه مرجع، گیاه فرضی (ممولاً چمن) با ارتفاع ۱۲ سانتی‌متر، ضربی بارزتاب ۲۳ درصد و مقاومت روزنَه ۷۰ ثانیه بر متر است. این روش از آن جهت حائز اهمیت است که بیش از آنکه براساس تجربه استوار باشد، مبنای فیزیکی داشته و اکثر عواملی که در تبخیر-تعرق مؤثرند، در آن دخالت داده شده است. کارشناسان سازمان فائق به منظور استاندارد کردن روش محاسبه تبخیر-تعرق، روش فائق-پنمن-مانتیث را به عنوان مینا انتخاب کرده و براساس آن تبخیر-تعرق گیاه مرجع را برای گیاه فرضی محاسبه کرده‌اند [۴]. با توجه به تحقیقات صورت گرفته، روش فائق-پنمن-مانتیث یکی از دقیق‌ترین روش‌های تخمین تبخیر-تعرق است و می‌توان از آن برای اقلیم‌های مختلف استفاده کرد. با وجود این، این معادله نیاز به داده‌های اولیه فراوان (دمای هوا، تابش خورشید، سرعت باد و رطوبت نسبی) دارد [۵، ۶ و ۷].

تعداد زیاد داده‌ها در روش فائق-پنمن-مانتیث با وجود دقت قابل قبول آن، همواره پژوهشگران را به سوی استفاده از روش‌های ساده‌تر و در عین حال دقیق‌تر سوق داده است. بنابراین از مدل‌های گوناگونی برای برآورده تبخیر-تعرق استفاده می‌کنند و سعی در انتخاب مدلی با دقت بیشتر، خطای کمتر و در عین حال کمترین تعداد متغیر ورودی دارند. این مدل‌ها مشکلات و هزینه‌های روش‌های روش مسقیم را ندارند و می‌توان به منظور پیش‌بینی نیز از آن‌ها استفاده کرد.

نتایج تحقیقات نشان می‌دهد که مدل‌های خطی، به دلیل تغییرپذیری زیاد مؤلفه تبخیر-تعرق عملکرد مناسبی در برآورده آن نداشته و باید از مدل‌های غیرخطی استفاده کرد که خود نیازمند برآورده پارامترهای زیادی خواهد بود [۸]. در حال حاضر، استفاده از روش‌های داده‌کاوی مهم‌ترین روش در مدل‌سازی فرایندهای پیچیده و غیرخطی است و می‌تواند به منظور مدل‌سازی تبخیر-تعرق به کار گرفته شود [۹].

روش‌های داده‌کاوی برای مجموعه داده‌های بزرگ با متغیرهای زیاد ساخته شده‌اند. از جمله روش‌های داده‌کاوی می‌توان به مدل‌های ماشین بردار پشتیبان (SVM)،<sup>۱</sup> جنگل تصادفی (RF)،<sup>۲</sup> مدل درخت تصمیم (M5)<sup>۳</sup> و رگرسیون فرایند گاوی (GPR)<sup>۴</sup> اشاره کرد. ماشین بردار پشتیبان یک طبقه‌بندی کننده دوتایی غیرآماری است که در سال‌های اخیر بسیار مورد توجه قرار گرفته است. رویکرد این مدل به این صورت است که در فاز آموزش، تلاش می‌شود که مرز تصمیم‌گیری به گونه‌ای انتخاب شود که حداقل فاصله آن با هریک از دسته‌های مورد نظر ماکزیمم شود [۱۰]. از مزایای این روش آموزش نسبتاً ساده آن است، برخلاف شبکه‌های عصبی مصنوعی در ماکزیمم‌های محلی گیر نمی‌افتد، برای داده‌های با ابعاد بالا تقریباً خوب جواب می‌دهد [۱۱]. مدل جنگل تصادفی به عنوان روشی توسعه‌یافته برای بهبود و بهسازی روش‌های درخت طبقه‌بندی و درخت رگرسیون به کار گرفته می‌شود. این مدل دارای دقت و قابلیت انطباق و سازگاری تقویت شده است و در انجام محاسبات از سرعت قابل قبولی برخوردار است. همچنین در انجام فرایند مدل‌سازی با جنگل تصادفی نیازی به نرمال‌سازی داده‌ها

1. Support Vector Machine

2. Random Forest

3. Decision Tree

4. Gaussian Process Regression

وجود ندارد [۱۲]. مدل M5 یک مدل درختی برای پیش‌بینی صفات عددی پیوسته است که در آن، توابع رگرسیونی خطی در برگ‌ها ظاهر می‌شوند. نتایج مدل درختی برای فهم و شبیه‌سازی آسان است و خروجی مدل از دقت بالایی برخوردار است که می‌توان آن را با سایر مدل‌ها مقایسه کرد [۱۳]. رگرسیون فرایند گاوی، تعمیم‌یافته توزیع گاوی است. مدل‌های رگرسیون فرایند گاوی قادر به درک توزیع پیش‌بینی متناظر با ورودی آزمون هستند. فرایندهای گاوی همان‌قدر که ساده‌اند، فراگیر نیز هستند [۱۴].

تحقیقات زیادی در زمینه استفاده از روش‌های داده‌کاوی در پیش‌بینی تبخیر-تعرق مرجع در مناطق مختلف انجام شده است. در تحقیقی، تبخیر-تعرق مرجع روزانه تبریز با استفاده از روش‌های داده‌کاوی ماشین بردار پشتیبان و مدل درختی M5 برآورد شد. نتایج تحقیق نشان داد روش‌های داده‌کاوی نسبت به روش‌های تجربی، برآورد بهتری از تبخیر-تعرق مرجع داشتند [۱۵]. کارایی روش‌های ماشین بردار پشتیبان، جنگل تصادفی و مدل کیوبیست در برآورد تبخیر-تعرق مرجع بوشهر نسبت به مدل‌های تجربی مورد بررسی قرار گرفت. نتیجه مطالعه نشان داد هر سه مدل توانایی بالایی در برآورد تبخیر-تعرق مرجع نسبت به مدل‌های تجربی دارا بودند [۱۶]. همچنین با استفاده از پنچ روش داده‌کاوی، تبخیر از ایستگاه هواشناسی تبریز برآورد شد. نتایج تحقیق نشان داد مدل ماشین بردار پشتیبان و مدل فرایند رگرسیون گاوی، برآورد بهتری از مقدار تبخیر داشت [۱۷]. در برآورد تبخیر-تعرق مرجع بنابراین نیز از روش‌های شبکه عصبی مصنوعی و مدل درختی استفاده شد. نتیجه تحقیق نشان داد اگرچه روش شبکه عصبی مصنوعی با اختلاف خیلی کمی در مقایسه با روش درختی پیش‌بینی نسبتاً دقیق‌تری از میزان تبخیر-تعرق مرجع ارائه می‌کند، روش درختی، روابط ساده خطی قابل فهم‌تر و کاربردی‌تری برای پیش‌بینی تبخیر-تعرق ارائه می‌کند [۱۸]. از روش‌های درخت تضمیم، یادگیری عمیق به عنوان بهترین مدل در بین مدل‌های انتخابی است [۱۹]. در تحقیقی دیگر، سه روش داده‌محور درخت گرادیان تقویت‌شده<sup>۱</sup>، مدل خطی تعمیم‌یافته<sup>۲</sup> و پرسپترون چندلایه<sup>۳</sup> در برآورد مقدار تبخیر از تشت در سه اقلیم خشک (ایستگاه یزد و بافق)، نیمه‌خشک (ایستگاه بیرجند و سیاه‌بیشه) و مرطوب (ایستگاه ساری و فردوس) مورد بررسی قرار گرفت. نتایج تحقیق نشان داد در تمامی ایستگاه‌های مورد مطالعه، روش پرسپترون چندلایه دقیق‌ترین برآوردها را ارائه نمود و به عنوان روشی با دقت بالا پیشنهاد شد [۲۰]. بنابراین در یک جمع‌بندی می‌توان بیان نمود که اغلب پژوهش‌های انجام‌شده در زمینه برآورد تبخیر-تعرق یا با استفاده از معادلات تجربی است که دقت بالای ندارند و یا با روابط غیرخطی پیشنهادی توسط پژوهشگران انجام شده است که نیازمند متغیرهای هواشناسی زیادی است تا تخمین قابل قبولی با خطای کمتر ارائه دهند؛ اما نتایج تحقیقات انجام‌شده به روش‌های داده‌کاوی نشان داد که این روش‌ها، روش‌های مناسبی برای تبخیر-تعرق مرجع هستند.

پژوهش‌های بسیاری درخصوص برآورد تبخیر-تعرق مرجع در شرایط کمبود داده‌های هواشناسی برای وضعیت آب‌وهوای ایران انجام شده است [۲۱]؛ اما با وجود توسعه زیاد کشاورزی در مناطق ساحلی ایران و بالا بودن تبخیر-تعرق در سواحل جنوبی کشور، تحقیقات جامعی برای محاسبه مقدار تبخیر-تعرق در این مناطق صورت نگرفته است. طول خط ساحل کشور ایران حدود ۵۸۰۰ کیلومتر است که ۸۹۰ کیلومتر آن در شمال ایران و دارای اقلیم معتدل و مرطوب، شامل استان‌های گیلان، مازندران و گلستان است. ۴۹۰۰ کیلومتر خط ساحلی ایران نیز در جنوب کشور (استان‌های خوزستان، بوشهر، هرمزگان و سیستان و بلوچستان) واقع شده و دارای اقلیم گرم و مرطوب است. دریای خزر به اقیانوس راه ندارد و سطح آن نیز پایین‌تر از سطح دریاهای آزاد است. خط ساحلی جنوب ایران نیز از طریق دریای عمان به آبهای آزاد راه دارد. فعالیت‌های کشاورزی زیادی در نوار ساحلی کشور صورت می‌گیرد [۲۲].

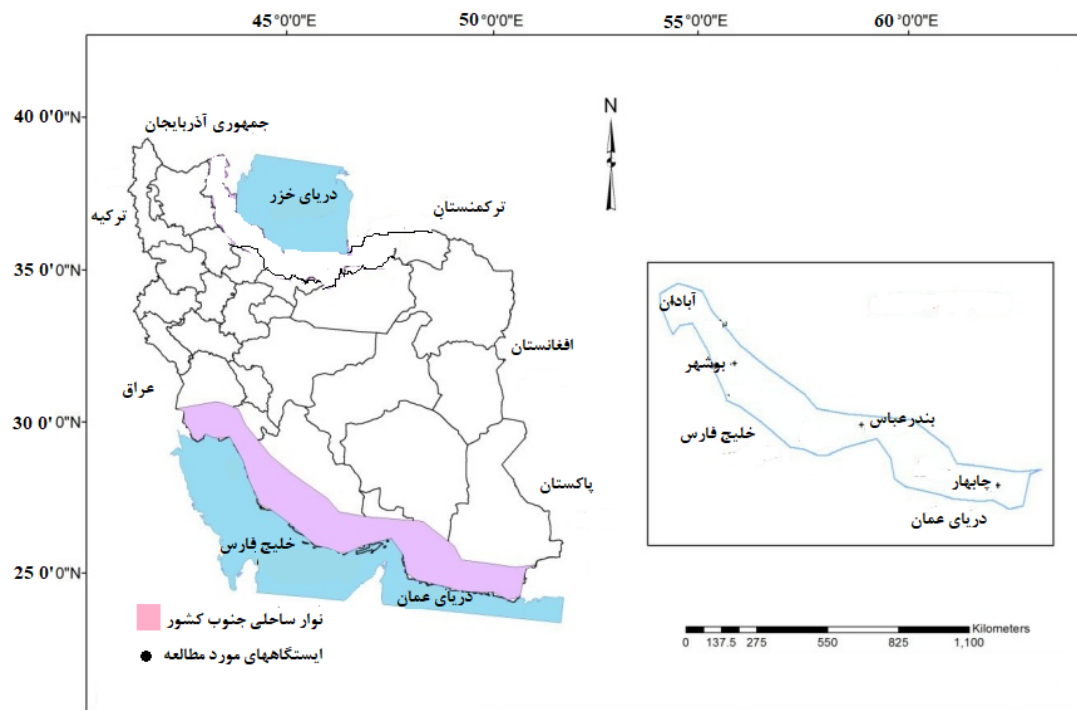
همان‌طور که گفته شد، دقت معادله فائق-پنم-مانثیت برای محاسبه تبخیر-تعرق مناسب است؛ اما نیاز به داده‌ها و اطلاعات زیادی دارد که در بسیاری از موارد، به‌خصوص در کشورهای جهان سوم (مانند ایران) در دسترس نیست و درنتیجه از روش‌های جایگزین که از داده‌ها و اطلاعات کمتری استفاده می‌کنند، بیشتر استفاده می‌شود. بنابراین هدف از این تحقیق، بررسی چهار روش داده‌کاوی ماشین بردار پشتیبان، جنگل تصادفی، مدل درختی و مدل رگرسیون فرایند گاوی با ترکیبات مختلف هواشناسی در برآورد مقدار تبخیر-تعرق مرجع روزانه بعضی ایستگاه‌های نوار ساحلی جنوب شامل چابهار، بندرعباس، بوشهر و آبدان است.

1. Gradient boosted tree
2. Generalized linear model
3. Multi layer perceptron

## ۲. مواد و روش‌ها

### ۲.۱. مناطق مورد مطالعه

مناطق مورد مطالعه برخی ایستگاه‌های هواشناسی نوار ساحلی جنوب شامل چابهار، بندرعباس، بوشهر و آبدان است. به‌منظور کاوش حجم مقاله و اطلاع مطالب، از هر چهار استان سواحل جنوبی، یک ایستگاه انتخاب شد. شکل ۱ موقعیت ایستگاه‌های مورد مطالعه را نشان می‌دهد.



شکل ۱: مناطق مورد مطالعه

برای انجام تحقیق ابتدا داده‌های هواشناسی ۲۰ ساله (۱۳۸۰-۱۴۰۰) از ایستگاه‌های مورد نظر جمع‌آوری شد. هرچه طول دوره آماری بیشتر باشد، خطای برآورد کمتر و پیش‌بینی دقیق‌تر انجام می‌شود. با توجه به کامل و در دسترس بودن اطلاعات همه پارامترهای هواشناسی مورد نظر در بازه زمانی مذکور، این دوره آماری انتخاب شد. جدول ۱، میانگین ۲۰ ساله داده‌های هواشناسی شامل باران، حداقل دما، حداقل رطوبت نسبی، سرعت باد، تابش خورشیدی و اقلیم را در هر یک ایستگاه‌های مورد مطالعه نشان می‌دهد.

جدول ۱: میانگین پارامترهای هواشناسی ایستگاه‌های مورد مطالعه

ایستگاه	اقلیم (طبقه‌بندی کوین)	حداقل دما (°C)	حداقل رطوبت نسبی (%)	سرعت باد (m s⁻¹)	میانگین دما (°C)	میانگین رطوبت نسبی (%)	میانگین بارندگی (mm year⁻¹)	تابش خورشیدی (MJ m⁻² day⁻¹)
چابهار	بیابانی گرم و خشک	۱۲/۵	۴۱/۸	۲/۵	۲۷/۱	۷۶	۱۱۴/۲۶	۱۰/۵
بندرعباس	بیابانی گرم میانه	۶/۴	۴۷/۵	۲/۲	۲۶/۹	۶۷	۱۶۴/۹۲	۹/۶
بوشهر	نیمه‌بیابانی گرم و خشک	۶/۹	۴۵/۳	۲/۱	۲۶/۱	۶۸	۲۰۱/۱۵	۸/۶
آبدان	بیابانی گرم شدید	۲/۳	۵۱/۶	۲/۸	۲۶/۹	۴۵/۴	۳۵۸/۴۱	۸/۵

## ۲. برآورد تبخیر-تعرق مرجع

در این تحقیق برای محاسبه تبخیر-تعرق مرجع از روش فانو-پنمن-مانتیث استفاده شد. این روش در میان روش‌های مختلف تبخیر-تعرق گیاه مرجع بیشترین دقت را دارد بوده است [۲۳ و ۲۴]. ازین‌رو مقادیر محاسبه شده توسط روش فانو-پنمن-مانتیث به عنوان مقدار استاندارد و هدف برای واسنجی و صحتسنجی سناریوهای مختلف روش‌های داده‌کاوی مورد استفاده قرار گرفت.

### معادله فائق-پنمن-مانتيث

$$ET_0 = \frac{0.408\Delta(Rn-G) + \gamma \frac{C_n}{T+273} U_2(es-ea)}{\Delta + \gamma(1+C_d) U_2} \quad (1)$$

در این معادله،  $ET_0$  تبخیر-تعرق مرجع ( $\text{mm day}^{-1}$ )،  $Rn$  تابش خالص ورودی به سطح گیاه ( $\text{MJ m}^{-2} \text{day}^{-1}$ )،  $G$  شار گرمای خاک ( $\text{MJ m}^{-2} \text{day}^{-1}$ )،  $T_{\text{mean}}$  میانگین دمای هوای روزانه ( $^{\circ}\text{C}$ )،  $U_2$  میانگین روزانه سرعت باد در ارتفاع دومتری از سطح زمین ( $\text{m s}^{-1}$ )،  $e_s$  فشار بخار اشباع ( $\text{Kpa}$ )،  $es$  فشار بخار واقعی ( $\text{Kpa}$ )،  $\Delta$  کمبود فشار بخار اشباع ( $\text{Kpa}$ )،  $C_n$  ضریب منحنی فشار بخار اشباع ( $\text{Kpa}^0 \text{C}^{-1}$ )،  $\gamma$  ضریب سایکرومتری ( $\text{Kpa}^0 \text{C}^{-1}$ )،  $C_d$  ضریب برای گیاه مرجع که مقدار آن ۹۰۰ است ( $\text{Kg}^0 \text{K}^{-1} \text{J}^{-1} \text{day}^{-1}$ ) و  $C_d$  ضریب باد برای گیاه مرجع که مقدار آن ۰/۳۴ است ( $\text{s m}^{-1}$ ).

### ۲.۳. روش‌های داده‌کاوی مورد مطالعه

بعد از محاسبه تبخیر-تعرق به روش مینا (فائق-پنمن-مانتيث)، از بین کل داده‌های موجود ۷۰ درصد برای آموزش و ۳۰ درصد برای آزمون روش‌های داده‌کاوی مورد استفاده قرار گرفتند. برای بررسی تأثیر متغیرهای مختلف هواشناسی (شامل پارامترهای دمای حداکثر، دمای حداقل، دمای میانگین، رطوبت نسبی، تابش خورشیدی و سرعت باد) و تعیین الگوهای ورودی به هر مدل از روش تجزیه به مؤلفه‌های اصلی (PCA) از طریق همبستگی پارامترهای هواشناسی با تبخیر-تعرق مرجع استفاده شد. روش تحلیل مؤلفه‌های اصلی از خانواده بردارهای ویژه است که عمدتاً به عنوان یک روش ریاضی برای کاهش حجم داده‌ها به کار گرفته می‌شود. این روش، مجموعه متغیرهای اصلی را به مجموعه کوچک‌تری تبدیل می‌کند؛ به طوری که این مجموعه کوچک، بیشترین پراش موجود در داده‌ها را توجیه نماید. هدف از تحلیل مؤلفه‌های اصلی آن است که پراش موجود در داده‌های چندین متغیر را به مؤلفه‌هایی تبدیل می‌کند که اولین مؤلفه تا آنجا که ممکن است بیشترین پراش ممکن بعد از مؤلفه و تا آخر را توجیه اول نماید. به علاوه در این روش، هر مؤلفه مستقل از مؤلفه دیگر است و بین مؤلفه‌ها همبستگی وجود ندارد. اگر متغیرهای  $X_1, X_2, \dots, X_p$  را بررسی کنیم، تابع خطی  $PC_1 = a_{11}X_1 + a_{21}X_2 + \dots + a_{p1}X_p$  را اولین مؤلفه اصلی گویند. به همین ترتیب دومین مؤلفه اصلی به صورت  $PC_2 = a_{12}X_1 + a_{22}X_2 + \dots + a_{p2}X_p$  خواهد بود و تا آخر. بنابراین به تعداد متغیرها، مؤلفه خواهیم داشت. اندازه هر کدام از مشاهدات در مؤلفه‌های جدید با نمرات مؤلفه‌ها محاسبه می‌شود. درنتیجه به جای اندازه مشاهدات، نمرات آن‌ها در مؤلفه‌های جدید مورد بررسی قرار می‌گیرد [۲۴].

سپس با استفاده از نتایج به دست آمده، از همبستگی ترکیب‌های مختلفی از داده‌های هواشناسی به عنوان ورودی مدل‌ها و مقادیر محاسبه شده متناظر به عنوان خروجی مدل‌ها استفاده شد و شبکه، آموزش داده شد. نتایج حاصل از این ترکیب‌ها مورد ارزیابی قرار گرفت و بهترین ترکیب برای برآورد تبخیر-تعرق در نظر گرفته شد. شایان ذکر است که برای اجرای مدل‌های داده‌کاوی مورد استفاده در تحقیق حاضر، از نرم‌افزار Weka استفاده شد.

### ۲.۴. ماشین بردار پشتیبان (SVR)

مفهوم اولیه ماشین‌های بردار پشتیبان، اولین بار توسط محقق روسي به نام واپنيک در سال ۱۹۹۵ مطرح شد. این مفهوم، روش جدیدی را بر مبنای طبقه‌بندی ارائه می‌دهد و یکی از ویژگی‌های آن، طراحی دسته‌بندی‌کننده با حداکثر تعمیم است [۲۵]. هدف ماشین‌های بردار پشتیبان، یافتن یک تابع پیوسته با مقدار حقیقی است که بتواند به‌ازای مقادیر ورودی، پیش‌بینی دقیقی از مقدار خروجی داشته باشد [۲۶]. به طور کلی ماشین بردار پشتیبان نوعی سیستم یادگیری کارآمد بر مبنای تئوری بهینه‌سازی مقید است [۲۷]. ماشین بردار پشتیبان، روشی است که هم برای گروه‌بندی و هم برای تخمین و برآورد تابع برازش داده‌ها در مسائل رگرسیون به کار می‌رود؛ به طوری که کمترین خطای در گروه‌بندی داده‌ها با تابع برازش رخ می‌دهد. SVM الگوریتمی است که نوع خاصی از مدل‌های خطی را می‌یابد که حداکثر حاشیه ابرصفحه را حاصل می‌کند. به نزدیک‌ترین نقاط آموزشی به حداکثر حاشیه ابرصفحه، بردارهای پشتیبان گفته می‌شود و فقط از این بردارها برای مشخص کردن مزدیین طبقات استفاده می‌شود. در یک مدل رگرسیونی SVM لازم است وابستگی تابع متغیر وابسته (y) به مجموعه‌ای از متغیرهای مستقل (x) تخمین زده شود. فرض بر این است که مانند دیگر مسائل رگرسیونی، رابطه بین متغیرهای مستقل و وابسته توسط یک تابع معین f به علاوه یک مقدار اضافی نویز مشخص می‌شود [۲۸]:

$$y = f(x) + \text{noise} \quad (2)$$

بنابراین موضوع اصلی، پیدا کردن فرم اصلی تابع  $f$  است که بتواند به صورت صحیح، موارد جدیدی را که SVM تاکنون تجربه نکرده است، پیش‌بینی کند. در روش SVM - از توابع هسته‌ای (کرنل) به منظور جداسازی صفحات و بهینه‌سازی فواصل موجود بین داده‌های مشاهداتی و تخمینی استفاده می‌شود؛ اما در مدل V-SVM از روش برنامه‌ریزی غیرخطی برای کاهش خطای پیش‌بینی استفاده می‌شود. در این مطالعه، مدل SVM - به دلیل کاربرد گسترده آن در مسائل رگرسیونی استفاده شد. برای این مدل، تابع خطای به صورت زیر تعریف می‌شود:

[۲۸]

$$C \sum_{i=1}^n \varepsilon_i^* + C \sum_{i=1}^n \varepsilon_i + \frac{1}{2} W^T W \quad (3)$$

تابع خطای مذکور لازم است که با توجه به محدودیت‌های زیر حداقل گردد:

$$W^T \emptyset(x_i) + b - y_i \leq \varepsilon + \varepsilon_i \quad (4)$$

$$y_i - W^T \emptyset(x_i) + b \leq \varepsilon + \varepsilon_i \quad (5)$$

$$\varepsilon_i \times \varepsilon^* \geq 0 \quad (6)$$

در این روابط،  $C$  ثابت گنجایش،  $W$  بردار ضریب،  $W^T$  ترانه‌هاده بردار ضریب،  $\varepsilon$  و  $\varepsilon^*$  ضرایب کمبود،  $b$  ضریب ثابت،  $n$  الگوی آموزش مدل و  $\emptyset$  تابع کرنل است.

ماشین‌های بردار پشتیبان برای حل مسائل غیرخطی، ابعاد مسئله را از طریق توابع کرنل تغییر می‌دهند. انتخاب کرنل برای SVM به حجم داده‌های آموزشی و ابعاد بردار ویژگی بستگی دارد. به عبارت دیگر، باید با توجه به این پارامترها تابع کرنل را انتخاب کرد که توانایی آموزش برای ورودی‌های مسئله را داشته باشد. در عمل، کرنل خطی به کار برده می‌شود [۲۸].

## ۲.۵. درخت تصمیم (M5)

روش درخت تصمیم، زیرمجموعه‌ای از روش‌های یادگیری ماشینی و داده‌کاوی است. روش‌های یادگیری ماشینی و داده‌کاوی، قابلیت کشف نیمه‌آutomاتیک الگوهای ارزشمندی از داده‌ها را دارند. در سال‌های اخیر مدل درختی، تحول قابل توجهی در مسائل طبقه‌بندی و پیش‌بینی ایجاد نموده است. از جمله دلایل استفاده از روش درختی می‌توان به این موارد اشاره کرد که روش درختی به طور مستقیم با متغیرهای پیش‌بینی کننده مرتبط است؛ بنابراین نتایج روش برای فهم و شبیه‌سازی آسان هستند. همچنین درخت‌های تصمیم‌گیری غیرپارامتریک بوده و هیچ دخالتی از سوی کاربر روی آن‌ها صورت نمی‌گیرد. از طرف دیگر، خروجی روش از دقت بالایی برخوردار است که می‌توان آن را با سایر روش‌ها مقایسه کرد [۲۹]. درخت تصمیم برای انجام پیش‌بینی، ساختاری مشابه درخت ایجاد می‌کند؛ به این صورت که ابتدا کار خود را با استفاده از تمام نمونه‌های آموزشی شروع می‌کند و متغیری که بهترین دسته‌بندی را انجام می‌دهد، انتخاب می‌کند و زیرمجموعه‌هایی تشکیل می‌دهد. شاخه‌های درخت، نتیجه‌آزمونی است که در هر مرحله توسط الگوریتم روی گره‌های میانی صورت می‌گیرد. پیش‌بینی‌ها نیز در برگ‌های درخت ظاهر می‌شود [۲۹]. روش درختی، قابلیت پیش‌بینی متغیرهای پیوسته عددی از روی صفات عددی را دارد و نتایج پیش‌بینی شده به صورت مدل‌های رگرسیونی خطی چندمتغیره در برگ‌های درخت ظاهر می‌شود. معیار تقسیم در یک گره براساس انتخاب انحراف معیار مقدار خروجی که به آن گره می‌رسند، به عنوان معیاری از خطاست. با آزمودن هر پارامتر در گره کاهش مورد انتظار در خطا محاسبه می‌شود. خطای مدل عموماً با اندازه‌گیری دقت پیش‌بینی مقدار خروجی هدف موارد دیده‌نشده سنجش می‌شود [۳۰]. فرمول محاسبه کاهش انحرافات (SDR) به صورت روابط (۷) و (۸) هستند:

$$SDR = Sd(T) - \sum_{i=1}^N \frac{|Ti|}{|T|} Sd(Ti) \quad (7)$$

$$Sd(T) = \sqrt{\frac{1}{N} \left( \sum_{i=1}^N Y_i^2 - \frac{1}{N} \left( \sum_{i=1}^N Y_i \right)^2 \right)} \quad (8)$$

در این روابط، SDR کاهش انحراف معیار و  $T$  مجموعه‌ای از نمونه‌های از نمونه‌های است که به هر گره وارد می‌شود.  $Ti$  نشان‌دهنده زیرمجموعه‌ای از نمونه‌های است که نامی نتیجه آزمون پتانسیلی را دارند.  $Sd$  انحراف معیار،  $Yi$  مقدار عددی ویژگی هدف نمونه  $i$  و  $N$  شماره داده‌ها را نشان می‌دهد [۲۹].

## ۲.۶. جنگل تصادفی

جنگل تصادفی، یک روش گروهی است که چند الگوریتم درختی را برای تولید یک پیش‌بینی مکرر از هر پدیده ترکیب می‌کند. جنگل تصادفی می‌تواند الگوهای پیچیده را یاد بگیرد و ارتباط غیرخطی بین متغیرهای توضیحی و متغیرهای واپسی را در نظر بگیرد. همچنین

می‌تواند انواع مختلف داده‌ها را به علت نبود توزیع نرمال داده‌های استفاده شده، در تجزیه و تحلیل بگنجاند و ترکیب کند. مدل جنگل تصادفی برای بسیاری از مجموعه داده‌ها، دسته‌بندی را با سرعت بالایی انجام می‌دهد و برخلاف مدل‌های کلاسیک چون رگرسیون که فقط بر پایه یک مدل تکیه دارند، با استفاده از صدها و هزاران درخت از اطلاعات بیشتری در داده‌ها استفاده می‌کند تا بتوان استنباط بهتری از متغیرها داشت. این روش، یک روش مدل ناپارامتری و متعلق به خانواده روش‌های دسته‌جمعی است [۳۱]. جنگل تصادفی با استفاده از مجموعه‌ای از درخت‌ها با در نظر گرفتن  $n$  داده مشاهده‌ای مستقل ساخته می‌شود:

$$(Y_i, X_i), \quad i = 1, \dots, n \quad (9)$$

این الگوریتم از جمله دسته‌بندی‌هایی است که روش Bagging را استفاده می‌کند. این روش، ترکیبی از چندین درخت تصمیم است که در ساخت آن چندین نمونه بوت‌استرپ از داده‌ها شرکت دارند و در ساخت هر درخت به طور تصادفی تعدادی از متغیرهای ورودی شرکت می‌کنند. با استفاده از روش بوت‌استرپ به تعداد زیاد (برای مثال ۲۰۰۰ مرتبه) نمونه‌های  $n$  تایی از مجموعه داده‌های مشاهداتی اولیه، نمونه‌برداری می‌شوند. در طی فرایند نمونه‌گیری، حدود یک‌سوم از داده‌ها نمونه‌گیری نمی‌شوند و برای نمونه خارج از کیسه (از این داده‌ها برای تعیین متغیرهای مهم و همچنین برآورد ناواری خط ایستاده می‌شود) در نظر گرفته می‌شود. سپس روی هر نمونه بوت‌استرپ یک درخت گسترش داده می‌شود. طی فرایند ساخت درخت در هر شاخه، از بین تمام  $M$  متغیر مستقل به صورت تصادفی  $m$  متغیر برای تقسیم شدن انتخاب می‌شود. برای حالت رگرسیونی، نسبت  $M/m$  برابر یک‌سوم است و برای کلاسیک بندی برابر با  $m = \sqrt{M}$  پیشنهاد شده است. پس از ساخت تمام درخت داده‌های آزمون به درخت معرفی شده و به تعداد درخت‌ها برای بردار ورودی یک خروجی به دست می‌آید. با میانگین‌گیری این خروجی‌ها، خروجی نهایی مدل و با در نظر گرفتن توزیع تجربی خروجی‌ها، مقادیر صدک‌ها و دامنه عدم قطعیت محاسبه می‌شود. روش جنگل تصادفی زمانی که تعداد مشاهدات در مقایسه با تعداد پیش‌بینی کننده‌ها نسبتاً کم باشد، یک روش پیش‌بینی کارآمد است [۳۲].

## ۲. رگرسیون فرایند گاووسی (GPR)

رگرسیون فرایند گاووسی، مجموعه‌ای از متغیرهای تصادفی است که تعداد محدودی از آن‌ها با توزیع‌های گاووسی سازگار شده‌اند. این فرایند به طور کامل توسط تابع میانگین و تابع کواریانس معین می‌شود. این فرایند تعییمی طبیعی از توزیع گاووسی است که میانگین و کواریانس آن به ترتیب یک بردار و یک ماتریس است. مدل‌های رگرسیون فرایند گاووسی بر مبنای این فرض هستند که داده‌ها باید حاوی اطلاعاتی درباره همدیگر باشند. توزیع گاووسی در واقع توزیع بین متغیرهای تصادفی بوده، در حالی که فرایند گاووسی بیانگر توزیع بین توابع است؛ درنتیجه مدل‌های فرایند گاووسی به دلیل دانش قبلی درباره وابستگی‌های تابعی و داده‌ها برای تعییم به هیچ فرایند اعتبارسنجی نیاز ندارند [۳۳]. فرایند گاووسی  $f(x)$  توسط توابع میانگین  $(x)$  و کواریانس به شکل زیر تعریف می‌شود [۳۴]:

$$m(x) = E(f(x)) \quad (10)$$

$$k(x, x') = E(f(x)-m(x))(f(x')-m(x'))) \quad (11)$$

که در آن،  $k(x, x')$  تابع کرنل بوده که در نقاط  $x$  و  $x'$  محاسبه می‌شود. فرایند گاووسی  $f(x)$  به صورت زیر بیان می‌شود:

$$f(x) = GP(m(x), k(x, x')) \quad (12)$$

برای ساده‌سازی، مقدار تابع میانگین صفر می‌شود [۳۵].

## ۲. آماره‌های ارزیابی

در این تحقیق برای ارزیابی صحت و اعتبار مدل‌های مورد استفاده از شاخص‌های آماری ریشه میانگین مربعات خطای  $(RMSE)$ ، ضریب تبیین  $(R^2)$  و میانگین مطلق خطای  $(MAE)$  استفاده شد (رابطه‌های ۱۳ تا ۱۵).

$$R^2 = 1 - \sum_{i=1}^n \frac{(x_i - x_i^*)^2}{(x_i - \bar{x}_i)^2} \quad (13)$$

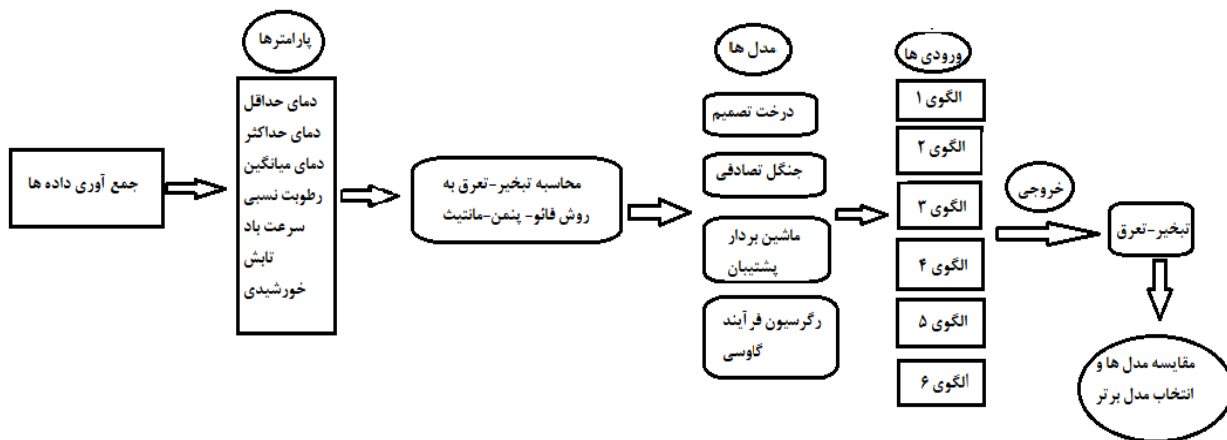
$$RMSE = \sqrt{\frac{1}{N} \sum_{i=1}^N (x_i - x_i^*)^2} \quad (14)$$

$$MAE = \frac{1}{n} \sum_{i=1}^n |x_i - x_i^*| \quad (15)$$

در این روابط  $x_i$  مقدار اندازه‌گیری شده،  $x_i^*$  مقادیر برآورده شده و  $n$  تعداد نمونه است.

شایان ذکر است که هرچه ضریب  $R^2$  به یک نزدیکتر و معیارهای RMSE و MAE به صفر نزدیک‌تر باشند، مدل از اعتبار بیشتری برخوردار است.

شکل ۲ نیز مراحل انجام تحقیق را نشان می‌دهد.



شکل ۲: الگوریتم مورد استفاده در تحقیق

### ۳. نتایج و بحث

همان‌طور که در بخش‌های قبل توضیح داده شد، مدل‌های داده‌محور، نیازی به معادلات با پایه‌های فیزیکی، که بیشتر به صورت غیرخطی و پیچیده‌اند، ندارند؛ ولی در کفراییندها و تأثیر عوامل مورد نظر در داده‌های ورودی روی تولید خروجی آن‌ها بسیار مهم است و در صورت درک نکردن آن، نمی‌توان انتظار نتایج مطلوبی داشت. لذا برای مدل‌سازی، پارامترهای هواشناسی مؤثر در تبخیر-تعرق مرجع، میزان تأثیر هریک از پارامترها با استفاده از روش تجزیه به مؤلفه‌های اصلی از طریق مقادیر همبستگی پارامترها با میزان تبخیر-تعرق مرجع محاسبه شد که نتایج در جدول ۲ ارائه شده است. نتایج نشان داد پارامترهای دمای حداقل، دمای حداکثر و دمای میانگین در تمام ایستگاه‌های مورد مطالعه، بیشترین همبستگی و سرعت باد، همبستگی کمتری با مقادیر تبخیر-تعرق مرجع داشتند. رطوبت نسبی همبستگی منفی با مقادیر تبخیر-تعرق مرجع داشت. شایان ذکر است که مقادیر ضرایب مثبت همبستگی نشان‌دهنده اثر همسوی تغییرات هر کدام از متغیرها با تبخیر-تعرق مرجع و مقادیر منفی نیز نشان‌دهنده تأثیر معکوس تغییرات پارامترها بر میزان تبخیر-تعرق مرجع است. نتایج به دست آمده از مطالعات سایر محققان نیز نشان داده است که در بین عوامل هواشناسی مؤثر در تبخیر-تعرق، متغیرهای دما، ساعات آفتابی و تابش خورشیدی بیشترین تأثیر را دارند [۳۶]. در تحقیقی بیان شد دمای حداقل روزانه و رطوبت نسبی به صورت معکوس و دمای حداکثر و متوسط دمای روزانه، به صورت مستقیم بر روی تبخیر تأثیرگذار است و بین متغیرهای میانگین دما، رطوبت نسبی هوا و مؤلفه تبخیر، همبستگی بالایی مشاهده شد [۳۷].

جدول ۲: تجزیه به مؤلفه‌های اصلی براساس مقادیر همبستگی پارامترها با تبخیر-تعرق مرجع در ایستگاه‌های مورد مطالعه

آبادان	بوشهر	بندرعباس	چابهار	پارامترهای هواشناسی
۰/۸۶	۰/۹۲	۰/۹۱	۰/۸۹	حداقل دما (°C)
۰/۸۹	۰/۹۴	۰/۹۳	۰/۹۲	حداکثر دما (°C)
۰/۸۴	۰/۸۶	۰/۸۷	۰/۸۳	میانگین دما (°C)
-۰/۶۱	-۰/۶۵	-۰/۶۲	-۰/۶۸	رطوبت نسبی (%)
۰/۴۴	۰/۳۸	۰/۳۹	۰/۴۵	(m s⁻¹)
۰/۵۱	۰/۵۴	۰/۵۲	۰/۵۷	سرعت باد (MJ m⁻² day⁻¹)
				تابش خورشیدی (MJ m⁻² day⁻¹)

برای مدل‌سازی مقادیر تبخیر-تعرق مرجع و بررسی کارایی داده‌کاوی روش‌های داده‌کاوی ماشین بردار پشتیبان، درخت تصمیم، جنگل تصادفی و رگرسیون فرایند گاووسی از نتایج جدول ۲ استفاده شد. برای این منظور، معیارهای خطای ارزیابی نتایج برای چهار روش مذکور در ۶ سناریو محاسبه شد. بر این اساس در سناریوی ششم، تمام متغیرها در مدل‌سازی مورد استفاده قرار گرفتند. در سناریوهای بعدی متغیری که میزان همبستگی کمتری را با مقادیر تبخیر-تعرق مرجع داشت، در مدل‌سازی حذف شد. این فرایند به همین ترتیب ادامه یافت و درنهایت در سناریوی اول، فقط از یک متغیر که بیشترین همبستگی را با مقادیر تبخیر-تعرق مرجع دارد، استفاده شد. جدول ۳ الگوهای مختلف ورودی به مدل‌ها را نشان می‌دهد.

جدول ۳: الگوهای مختلف ورودی، برای تخمین مقدار تبخیر-تعرق مرجع در مدل‌های مورد مطالعه

خرожی	پارامترهای ورودی	سناریو
تبخیر-تعرق مرجع	حداکثر دما	۱
تبخیر-تعرق مرجع	حداکثر دما	۲
تبخیر-تعرق مرجع	حداکثر دما	۳
تبخیر-تعرق مرجع	حداکثر دما	۴
تبخیر-تعرق مرجع	حداکثر دما	۵
تبخیر-تعرق مرجع	حداکثر دما	۶

پس از طراحی سناریوها برای مدل‌های مختلف، خروجی این مدل‌ها دریافت و با شاخص‌های آماری مورد ارزیابی قرار گرفت. جدول ۴ نتایج ارزیابی را برای چهار روش داده‌کاوی (شامل ماشین بردار پشتیبان، جنگل تصادفی، درخت تصمیم و رگرسیون فرایند گاوسی) نشان می‌دهد.

جدول ۴: مقادیر شاخص‌های آماری ارزیابی روش‌های داده‌کاوی مورد مطالعه

رگرسیون فرایند گاوسی			درخت تصمیم			جنگل تصادفی			ماشین بردار پشتیبان			مدل	ایستگاه
R <sup>2</sup>	RMSE	MAE	R <sup>2</sup>	RMSE	MAE	R <sup>2</sup>	RMSE	MAE	R <sup>2</sup>	RMSE	MAE		
۰/۹۱	۱/۱۸	۰/۷۸	۰/۸۹	۱/۵۹	۱/۲۴	۰/۹۲	۱/۳۷	۰/۸۴	۰/۸۸	۱/۹۶	۱/۶۱	۱	چابهار
۰/۹۴	۱/۱۱	۰/۷۳	۰/۹۲	۱/۴۷	۱/۱۱	۰/۹۴	۱/۲۶	۰/۷۹	۰/۸۹	۱/۸۵	۱/۴۲	۲	
۰/۹۶	۰/۹۷	۰/۶۲	۰/۹۲	۱/۳۸	۰/۹۲	۰/۹۴	۱/۱۸	۰/۷۱	۰/۹۱	۱/۴۹	۱/۲۲	۳	
۰/۹۶	۰/۹۴	۰/۶۱	۰/۹۳	۱/۲۴	۰/۹۱	۰/۹۵	۱/۱۴	۰/۶۷	۰/۹۱	۱/۴۵	۰/۹۷	۴	
۰/۹۲	۱/۱۵	۰/۸۱	۰/۹۱	۱/۵۶	۱/۲۳	۰/۹۳	۱/۲۹	۰/۸۳	۰/۹۱	۱/۸۹	۱/۵۷	۵	
۰/۹۴	۰/۸۶	۰/۵۶	۰/۹۲	۱/۱۵	۰/۷۸	۰/۹۳	۰/۹۸	۰/۵۹	۰/۹۲	۱/۳۶	۰/۸۶	۶	
۰/۹۲	۱/۸۵	۱/۹۳	۰/۹۱	۱/۷۹	۱/۸۸	۰/۹۱	۲/۰۲	۱/۸۶	۰/۸۶	۲/۴۵	۱/۸۳	۱	بندرعباس
۰/۹۴	۱/۵۵	۱/۳۱	۰/۹۳	۱/۶۷	۱/۷۵	۰/۹۱	۱/۹۶	۱/۷۵	۰/۸۸	۲/۳۷	۱/۷۹	۲	
۰/۹۳	۱/۵۶	۱/۳۸	۰/۹۳	۱/۶۶	۱/۷۳	۰/۹۲	۱/۷۵	۱/۵۸	۰/۸۹	۲/۱۹	۱/۷۵	۳	
۰/۹۵	۱/۰۲	۱/۱۴	۰/۹۳	۱/۶۳	۱/۴۴	۰/۹۵	۱/۳۸	۱/۲۶	۰/۹۱	۱/۸۹	۱/۶۸	۴	
۰/۹۴	۱/۴۲	۱/۲۷	۰/۹۲	۱/۷۲	۱/۵۲	۰/۹۳	۱/۵۴	۱/۳۹	۰/۹۱	۱/۹۶	۱/۶۹	۵	
۰/۹۳	۱/۶۲	۱/۴۲	۰/۹۱	۱/۸۲	۱/۷۷	۰/۹۲	۱/۸۱	۱/۶۱	۰/۸۹	۲/۳۶	۱/۷۴	۶	
۰/۹۱	۱/۲۵	۱/۳۴	۰/۸۴	۱/۸۴	۱/۶۷	۰/۹۲	۱/۳۷	۱/۲۸	۰/۸۳	۰/۸۹	۱/۹۲	۱	بوشهر
۰/۹۳	۱/۱۳	۰/۸۶	۰/۸۹	۱/۲۷	۱/۲۱	۰/۹۲	۱/۴۵	۱/۱۴	۰/۸۷	۱/۷۶	۱/۶۵	۲	
۰/۹۴	۰/۹۵	۰/۷۵	۰/۹۳	۱/۱۵	۰/۹۹	۰/۹۳	۰/۹۷	۰/۸۵	۰/۸۹	۱/۳۲	۱/۴۲	۳	
۰/۹۷	۰/۷۴	۰/۶۹	۰/۹۴	۰/۹۵	۰/۸۵	۰/۹۵	۰/۸۱	۰/۷۶	۰/۸۷	۱/۸۲	۱/۹۵	۴	
۰/۹۵	۰/۸۴	۱/۱۳	۰/۹۱	۱/۰۶	۱/۵۶	۰/۹۴	۱/۳۹	۰/۹۶	۰/۹۱	۱/۱۴	۱/۲۲	۵	
۰/۹۴	۱/۱۱	۱/۳۲	۰/۸۹	۱/۲۳	۱/۹۴	۰/۹۱	۱/۶۲	۱/۰۵	۰/۸۵	۲/۰۳	۱/۸۱	۶	
۰/۹۲	۱/۴۶	۰/۸۸	۰/۸۹	۱/۷۸	۱/۳۳	۰/۹۴	۱/۶۱	۱/۲۶	۰/۸۵	۲/۱۸	۱/۴۴	۱	آبادان
۰/۹۴	۱/۰۵	۰/۶۶	۰/۹۱	۱/۵۴	۱/۰۸	۰/۹۴	۱/۴۷	۰/۹۷	۰/۸۷	۱/۸۶	۱/۱۹	۲	
۰/۹۵	۰/۸۷	۰/۵۹	۰/۹۳	۱/۲۵	۰/۸۳	۰/۹۴	۱/۱۷	۰/۷۴	۰/۸۴	۲/۳۲	۱/۶۳	۳	
۰/۹۲	۰/۹۷	۰/۷۲	۰/۸۷	۱/۹۵	۱/۴۲	۰/۸۹	۱/۷۵	۱/۳۵	۰/۸۹	۱/۶۴	۰/۹۴	۴	
۰/۹۱	۱/۲۶	۰/۸۱	۰/۸۹	۲/۱۵	۱/۵۳	۰/۹۱	۱/۸۳	۱/۴۲	۰/۸۴	۲/۴۱	۱/۷۱	۵	
۰/۹۱	۱/۶۹	۰/۹۴	۰/۸۶	۲/۴۱	۱/۸۲	۰/۸۸	۲/۱۲	۱/۷۶	۰/۸۲	۲/۷۴	۱/۹۶	۶	

نتایج ارزیابی روش‌های داده‌کاوی (جدول ۴) نشان داد هر چهار روش داده‌کاوی در مناطق مورد مطالعه به خوبی توانسته‌اند مقادیر تبخیر-تعرق مرجع را برآورد کنند. در هر چهار ایستگاه، روش رگرسیون فرایند گاوسی با داشتن بالاترین مقدار R<sup>2</sup> و کمترین مقادیر RMSE و MAE برآورد بهتری از مقادیر تبخیر-تعرق مرجع داشتند و روش‌های جنگل تصادفی، درخت تصمیم و ماشین بردار پشتیبان به ترتیب در رتبه‌های بعدی قرار گرفتند. محققان بیان داشتند از بین روش‌های داده‌کاوی ماشین بردار پشتیبان، رگرسیون فرایند گاوسی و نزدیک‌ترین

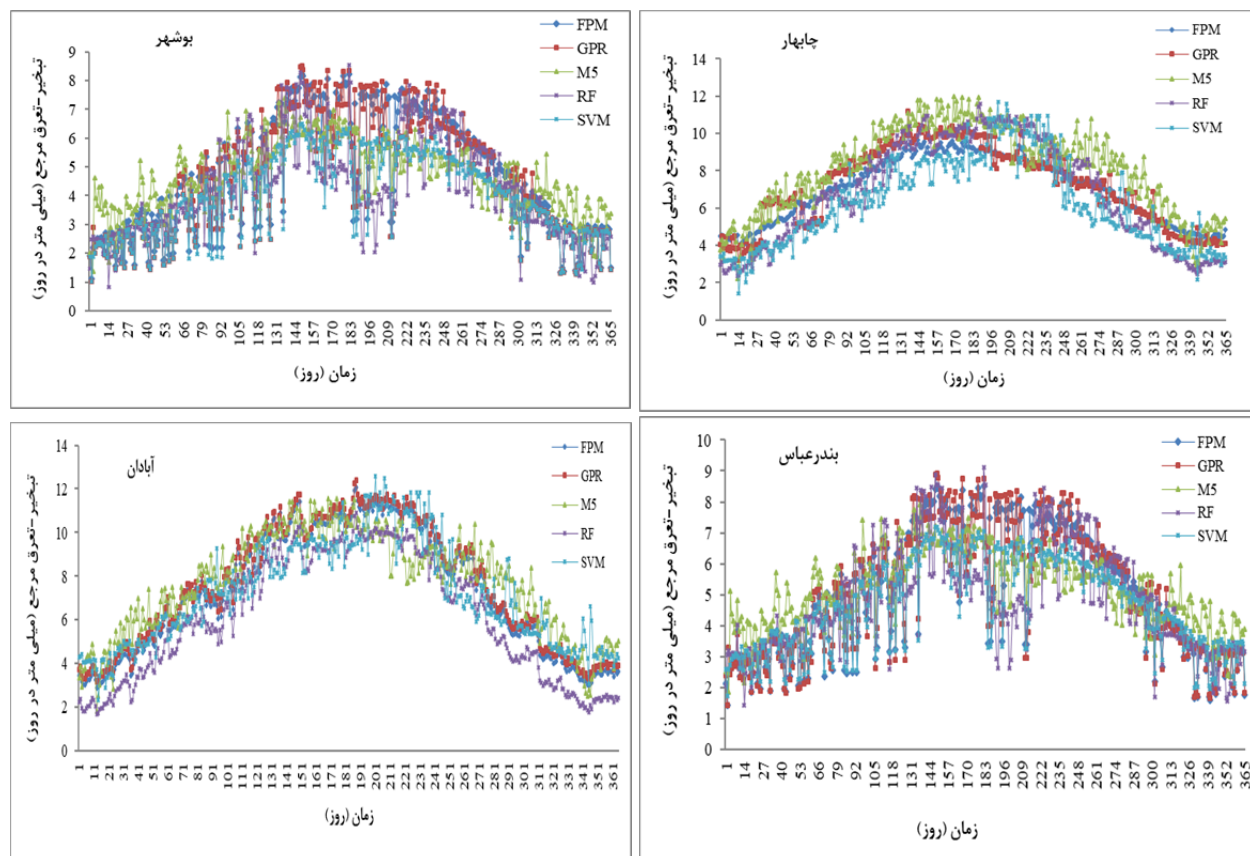
همسایگی (IBK)، در ایستگاه‌های تبریز، سراب و هریس، روش ماشین بردار پشتیبان و در ایستگاه‌های بستان آباد و مراغه، روش رگرسیون فرایند گاوی در مقایسه با سایر روش‌ها دقیق‌تر داشته‌اند [۳۸]. در مطالعه دیگری نیز بیان شد رگرسیون فرایند گاوی، بهترین برآورد در تبخیر از تشت را در منطقه گلستان داشت [۳۹].

در ایستگاه چابهار، روش رگرسیون فرایند گاوی در الگوی ۶ با بیشترین  $R^2$  (۰/۹۴) و کمترین مقادیر RMSE و MAE بهترین برآورد ۰/۵۶ و برآورد بهتری از تبخیر-تعرق مرجع داشتند. سایر روش‌ها نیز در الگوی ۶ برآورد بهتری از تبخیر-تعرق مرجع دارا بودند. در ایستگاه بندرعباس همه روش‌ها در الگوی ۴، بهترین برآورد تبخیر-تعرق مرجع را داشتند. در ایستگاه بوشهر، روش‌های رگرسیون فرایند گاوی، در خاتمه تصمیم و جنگل تصادفی در الگوی ۴ و روش ماشین بردار پشتیبان در الگوی ۵، برآورد بهتری از تبخیر-تعرق مرجع داشتند. در ایستگاه آبادان، روش‌های رگرسیون فرایند گاوی، در خاتمه تصمیم و جنگل تصادفی در الگوی ۳ و روش ماشین بردار پشتیبان در الگوی ۴، برآورد بهتری از تبخیر-تعرق مرجع داشتند.

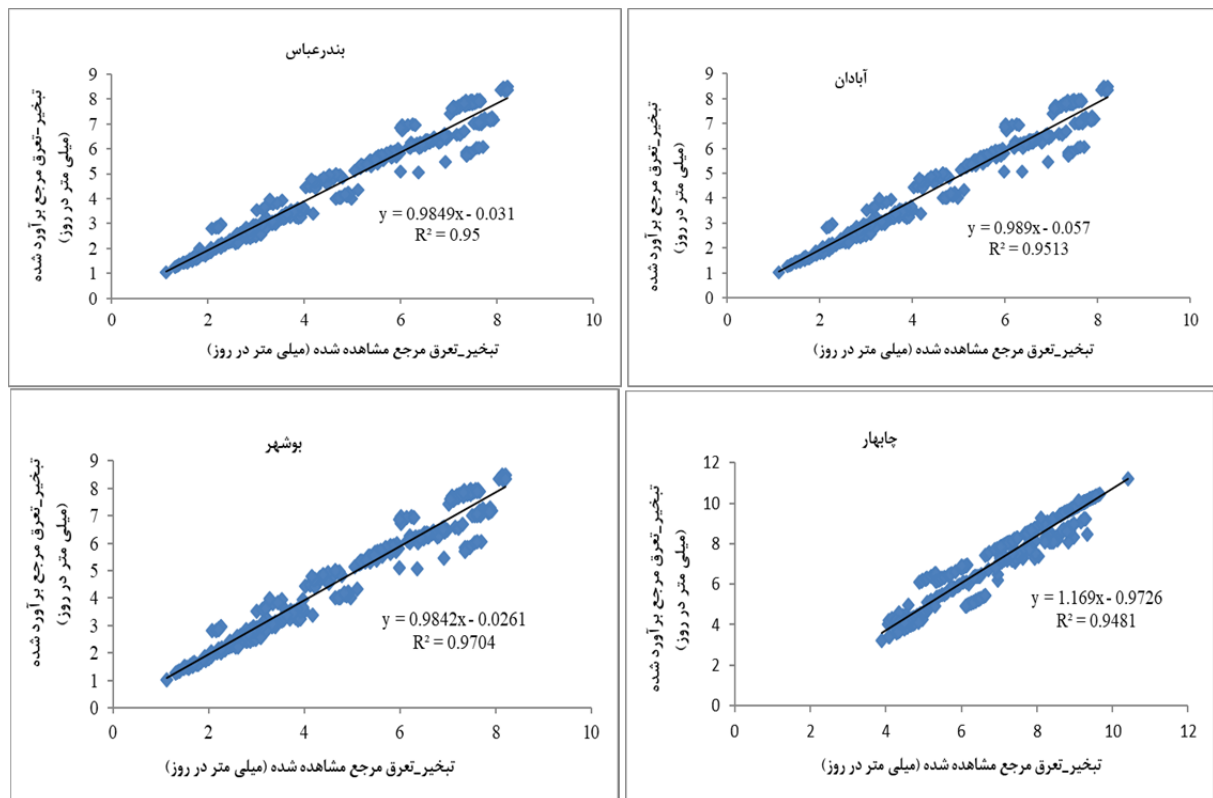
همچنین مقایسه بین مدل‌ها (جدول ۴) نشان داد در ایستگاه چابهار، ترکیب هر شش پارامتر هواشناسی (پارامترهای دمای حداقل، دمای حداکثر، دمای میانگین، رطوبت نسبی، تابش خورشیدی و سرعت باد)، برآورد بهتری از تبخیر-تعرق مرجع داشتند. حذف هریک از پارامترهای هواشناسی باعث افزایش خطاهای RMSE و کاهش ضریب تبیین  $R^2$  شد. در ایستگاه بندرعباس، در هر چهار روش داده‌کاوی حذف سرعت باد و تابش خورشیدی باعث افزایش ضریب تبیین  $R^2$  و کاهش آمارهای خطای RMSE و MAE شد. در ایستگاه بوشهر نیز در سه روش در خاتمه تصمیم، جنگل تصادفی و رگرسیون فرایند گاوی با حذف سرعت باد و تابش خورشیدی، ضریب تبیین  $R^2$  افزایش و آمارهای خطای RMSE و MAE کاهش یافت. اما روش ماشین بردار پشتیبان در این ایستگاه فقط با حذف سرعت باد عملکرد بهتری در برآورد داشت. در ایستگاه آبادان، ترکیب پارامترهای دمای حداقل، دمای حداکثر و دمای میانگین (الگوی ۳)، برآورد بهتری از تبخیر-تعرق را در سه روش در خاتمه تصمیم، جنگل تصادفی و رگرسیون فرایند گاوی نشان داد؛ اما در این ایستگاه در روش ماشین بردار پشتیبان، اضافه نمودن رطوبت نسبی به ترکیب مذکور (الگوی ۴) تبخیر-تعرق را بهتر برآورد نمود. تخمین تبخیر-تعرق مرجع روزانه در بوشهر نشان داد که بیشترین حساسیت روش‌های هوش مصنوعی به پارامترهای دمای هواست [۱۵]. در تحقیقی دیگر مشاهده شد با استفاده از روش‌های هوش مصنوعی و دو پارامتر دمای حداقل و دمای حداقل، تبخیر-تعرق مرجع به خوبی برآورد شد [۴۰]. با توجه به نتایج بدست‌آمده از تحقیق حاضر می‌توان یک الگوی مشخصی از داده‌های هواشناسی برای برآورد تبخیر-تعرق مرجع با استفاده از روش‌های داده‌کاوی در ایستگاه‌های نوار ساحلی جنوب ایران معرفی کرد.

در شکل (۳)، روند تغییرات روزانه تبخیر-تعرق مرجع محاسبه شده با روش فائق-پنمن-مانتیث و پیش‌بینی شده با روش‌های داده‌کاوی ارائه شده است. همان‌طور که در شکل مشاهده می‌شود، انطباق زیادی بین داده‌های محاسبه شده با روش فائق-پنمن-مانتیث و روش‌های داده‌کاوی وجود دارد. بنابراین می‌توان از این روش‌ها برای برآورد تبخیر-تعرق مرجع در زمانی که داده‌های محدودی در اختیار است، استفاده کرد.

بهمنظور ارزیابی بهتر کارایی روش رگرسیون فرایند گاوی، نحوه پراکنش مقادیر پیش‌بینی شده تبخیر-تعرق مرجع تحت بهترین سناریو حول خط نیمساز و مقایسه آن با مقادیر تبخیر-تعرق مرجع محاسبه شده با روش فائق-پنمن-مانتیث، در شکل (۴) ارائه شده است. میزان پراکندگی نقاط پیش‌بینی حاصل از روش رگرسیون فرایند گاوی حول خط نیمساز نشان‌دهنده دقیق‌ترین تبخیر-تعرق مرجع محاسبه شده با روش فائق-پنمن-مانتیث بیشتر بوده و دقیق‌تر است. همان‌طور که مشاهده می‌شود، مدل رگرسیون فرایند گاوی، در هر چهار ایستگاه، کمترین پراکنش را حول نیمساز داشته و دارای بیشترین دقیق‌ترین خطا بوده است و مدل به خوبی توانسته مقادیر تبخیر-تعرق مرجع را برآورد نماید. با توجه به معادله رگرسیونی به دست‌آمده از برآورد داده‌های تبخیر-تعرق برآورده شده هر ایستگاه با داده‌های محاسبه شده فائق-پنمن-مانتیث (شکل ۳) می‌توان گفت مدل رگرسیون فرایند گاوی مقادیر تبخیر-تعرق مرجع را کمتر از مقادیر محاسبه شده فائق-پنمن-مانتیث برآورد کرده است. دیگر محققان نیز در تحقیق خود به نتایج مشابهی دست یافته‌اند و بیان داشته‌اند مدل رگرسیون فرایند گاوی به خوبی توانسته است مقادیر تبخیر از تشت را در ایستگاه تبریز برآورد نماید. ایشان همچنین بیان کردند روش‌های داده‌کاوی بررسی شده حساسیت زیادی به پارامترهای دمایی و تابش خورشیدی داشتند [۱۶].



شکل ۳: مقایسه روند تغییرات روزانه تبخیر-تعزق مرجع محاسبه شده با روش فائو-پنمن-مانتیث و روش‌های داده‌گاوی مورد مطالعه



شکل ۴: پراکنش مقادیر پیش‌بینی شده تبخیر-تعزق مرجع تحت بهترین سناریو روش رگرسیون فرایند گاوی حول خط نیمساز و مقایسه با مقادیر تبخیر-تعزق مشاهده شده از روش فائو-پنمن-مانتیث

#### ۴. نتیجه‌گیری

آگاهی از نیاز آبی گیاهان یکی از ملاحظات مهم در اصلاح بهره‌وری آب در کشاورزی است؛ ازین‌رو پیش‌بینی تبخیر-تعرق مرجع برای محققان از اهمیت خاصی برخوردار است. برآورد دقیق تبخیر-تعرق مرجع از مهم‌ترین عوامل ارتقای مدیریت آب است. این موضوع در مناطق با نرخ تبخیر-تعرق بالا مانند نوار ساحلی جنوب کشور بیش از پیش اهمیت دارد. روش فائو-پنمن-مانتیث به عنوان فرمول استاندارد برآورد تبخیر-تعرق مرجع مورد استفاده قرار می‌گیرد؛ ولی این روش دارای محاسبات طولانی و پیچیده بوده و نیاز به اطلاعات زیادی دارد. ازسوی دیگر به‌دلیل اینکه در برآورد تبخیر-تعرق روزانه تغییرات کوتاه‌مدت پارامترهای هواشناسی مؤثر بر تبخیر-تعرق در نظر گرفته می‌شود، انتخاب پارامترهای مؤثر و در صورت امکان حذف برخی از آن‌ها برای کاهش متغیرهای ورودی، می‌تواند کمک زیادی در برآورد سریع و کم‌هزینه تبخیر-تعرق روزانه را برآورد نماید. در این تحقیق از روش‌های داده‌کاوی ماشین بردار پشتیبان، جنگل تصادفی، کمتر می‌تواند تبخیر-تعرق مرجع روزانه را برآورد نماید. در این تصادفی استفاده از روش‌های داده‌کاوی با استفاده از داده‌های هواشناسی در برآورد تصمیم و رگرسیون فرایند گاووسی با شش الگوی مختلف برای برآورد تبخیر-تعرق مرجع روزانه چهار ایستگاه نوار ساحلی جنوب کشور (چابهار، بندرعباس، بوشهر و آبدان) استفاده شد. همان‌طور که نتایج نشان دادند، همبستگی بالایی بین تبخیر-تعرق برآورده شده از روش‌های داده‌کاوی با روش فائو-پنمن-مانتیث وجود دارد و می‌توان از این روش‌ها برای برآورد تبخیر-تعرق مرجع روزانه در زمانی که داده‌های محدودتری در دسترس است، استفاده کرد. از بین روش‌های مختلف، روش رگرسیون فرایند گاووسی با دارا بودن کمترین آماره‌های خطأ و بیشترین ضریب تبیین، برآورد بهتری از تبخیر-تعرق مرجع داشت و روش‌های جنگل تصادفی، درخت تصمیم و ماشین بردار پشتیبان بهترین ترتیب در رتبه‌های بعدی قرار گرفتند. از بین الگوهای مورد بررسی در چابهار الگوی <sup>۶</sup>، در بندرعباس و بوشهر الگوی <sup>۴</sup>، در آبدان الگوی <sup>۳</sup> بهترین برآورد را داشتند. علت تفاوت در نتیجه به دست آمده در هر ایستگاه، شاید به‌دلیل وضعیت آب‌وهوایی متفاوت هر ایستگاه باشد. در ایستگاه چابهار، اقلیم منطقه بیابانی گرم و خشک، ایستگاه بندرعباس، اقلیم منطقه بیابانی گرم میانه، ایستگاه بوشهر، اقلیم منطقه نیمه‌بیابانی گرم و خشک و ایستگاه آبدان، اقلیم منطقه بیابانی گرم شدید است. به نظر می‌رسد با توجه به اینکه ایستگاه آبدان نسبت به سه ایستگاه دیگر از دریا فاصله دارد و رطوبت نسبی کمتری نسبت به سه ایستگاه دیگر دارد، تأثیر این پارامتر بر مقدار تبخیر-تعرق کمتر است. همچنین شدت تابش خورشیدی نیز در این ایستگاه کمتر بود. به همین دلیل، الگوی <sup>۳</sup> شامل ترکیب پارامترهای دمای حداقل، دمای حداکثر و دمای میانگین، برآورد بهتری از تبخیر-تعرق داشت. در ایستگاه‌های بندرعباس و بوشهر نیز به‌دلیل نزدیکی اقلیم دو منطقه و وضعیت آب‌وهوایی، نتیجه یکسانی حاصل شد. در ایستگاه چابهار به‌دلیل بالا بودن پارامترهای هواشناسی مورد مطالعه نسبت به سایر ایستگاه‌ها، نتیجه متفاوت‌تری به دست آمد و الگوی <sup>۶</sup> با ترکیب همه پارامترهای هواشناسی برآورد بهتری داشت. از بین پارامترهای هواشناسی، پارامترهای حداکثر دما، حداقل دما و میانگین دما بیشترین تأثیر را بر تبخیر-تعرق داشت. با توجه به نقش شبکه‌های تبخیر-تعرق مرجع در مطالعات کشاورزی، طرح‌های مدیریت منابع آب، تعیین نیاز آبی و تعیین هیدرومدول برای طراحی شبکه‌های آبیاری و زهکشی، نتایج حاصل از این تحقیق می‌تواند راهکار مناسبی برای محاسبه و برآورد این پارامتر مهم هیدرولوژیکی به مدیران و طراحان ارائه دهد؛ بهویشه که هر چهار مدل مورد استفاده با اطلاعات ورودی کمتر نسبت به روش فائو-پنمن-مانتیث عملکرد خوبی داشته‌اند. در پایان پیشنهاد می‌شود عملکرد مدل‌های مورد استفاده در این تحقیق نسبت به داده‌های لایسیمتری ارزیابی شود. همچنین با توجه به سادگی و کاربردی بودن استفاده از روش‌های داده‌کاوی مورد مطالعه، به‌منظور برآورد تبخیر-تعرق مرجع، در اقلیم‌های مشابه با اقلیم مناطق مورد مطالعه، این روش‌ها پیشنهاد می‌شوند. لازم است روش‌های مورد استفاده در مطالعه حاضر در اقلیم‌های مختلف مورد بررسی قرار گیرد و برای هر اقلیم، بهترین روش مشخص گردد.

#### سپاسگزاری

این پژوهش با حمایت مالی دانشگاه زابل کد پژوهانه IR-UOZ-GR-1837 انجام شده است.

## منابع

- [1] Maeda EE, Wiberg DA, Pellikka PKE. Estimating reference evapotranspiration using sensing empirical models in a region with limited data availability in Kenya. *Applied Geography*. 2010; 31(2011): 251-258.
- [2] Bos MG, Kselik RG, Allen k, Molden DJ. *Water Requirements for Irrigation and the Environment*. Springer, 2009. p. 186.
- [3] Panahi S, Rezvanizadeh F, Samadianfard S. Evaluation and comparison of experimental methods for estimation of reference evapotranspiration in Tabriz station. *The first international conference on Iran's natural hazards and environmental crises, solutions and challenges*, 2016; 9 p. [Persian]
- [4] Alizadeh A. *Irrigation System Design*. Ferdowsi University of Mashhad, 2002. 450pp. [Persian].
- [5] Chiew FHS, Kamaladassa NN, Malano HM, MacMahon, TA. 1995. Penman-Monteith, FAO-24 reference crop evapotranspiration and class-A pan data in Australia. *Agricultural Water management*, 28: 9- 21.
- [6] Hashemi E, Ahmadpari H, Kohneh K. Comparison of different methods of estimating potential evapotranspiration with FAO Penman-Monteith method (Case study: Sepidan region). *Nivar*. 2017; 41, 13-22. DOI: 10.30467/nivar.2017.51886. [In Persian]
- [7] Samadianfard S, Panahi S. Estimating Daily Reference Evapotranspiration using Data Mining Methods of Support Vector Regression and M5 Model Tree. *Journal of Watershed Management Research*. 2018; 18(10): 157-167. [Persian].
- [8] Wang Z, Xie P, Lai C, Chen X, Wu X, Zeng Z, Li J. Spatiotemporal variability of reference evapotranspiration and contributing climatic factors in China during 1961– 2013. *Journal of Hydrology*. 2017; 544: 97-108.
- [9] Ansari Ghojghar M, Pourgholam-Amiji M, Bazrafshan J, Liaghat A, Araghinejad S. Performance Comparison of Statistical, Fuzzy and Perceptron Neural Network Models in Forecasting Dust Storms in Critical Regions in Iran. *Iranian Journal of Soil and Water Research*. 2020; 51(8): 2051-2063. [Persian].
- [10] Pai P, Hong WCA. Recurrent support vector regression model in rainfall forecasting. *Hydrological Process*. 2007; 21: 819-827.
- [11] Kihani A, Akhundali A, Fathian H. Uncertainty analysis of parameters of SVM model for estimation of suspended sediment load and bed in Sierra Karaj station with Monte Carlo simulation method. *Iran Water and Soil Research (Agricultural Sciences of Iran)*. 2021; 52(1): 195-212. [Persian].
- [12] Breiman L. Application and analysis of random forests and machine learning. *Journal of Water Management*. 2001; 15(1): 5-32
- [13] Pal M. M5 model tree for land cover classification. *International Journal of Remote Sensing*, 2006; 27(4): 825-831.
- [14] Javidan S, Sattari MT, Mehrabi A. Comparative analysis of estimating monthly reference evapotranspiration using Kernel and Tree-Based data mining models versus empirical methods. *Environment and Water Engineering*. 2022; 8(4): 908-922.
- [15] Piri H, Mobaraki M. Investigating the effectiveness of transfer functions based on machine learning methods for predicting reference evaporation and transpiration (Case study: Bushehr). *Eco Hydrology*. 2023; 10(3): 421-434. [Persian].
- [16] Seifzadeh KH, Zare Haghi D, Samadianfard S, Neyshabouri MR, Mikaeili F. Estimation of daily evaporation from class A pan using five data mining methods (case study: tabriz synoptic station. *Water and Soil Science*. 2023; 33(4): 167-184. [Persian].
- [17] Sattari MT, Nahrin F, Azimi V. Prediction of daily reference evapotranspiration using artificial neural network model and M5 tree model (Case study: Bonab Station). *Iranian Journal of Irrigation and Drainage*. 2013; 1(7): 104-113. [Persian].
- [18] Siaser H, Dindarlou A. Estimation of daily reference evaporation and transpiration using deep learning model, random forest and decision tree (case study: Sistan plain). *Iranian Water Research*, 2019; 14(1): 108-99.

- [19] Izadyar M, Samadianfard S, Majnooni Heris A, Sadraddini AA. Estimating Pan Evaporation in Three Different Climates using Data-Driven. *Water and Soil Science*. 2024; 34(1): 113-132. [Persian].
- [20] *Integrated Management Plan for Iran's Coastal Areas (Process and Achievements)*, Deputy Director of Port Development and Equipment, General Directorate of Coastal and Port Engineering. 2013. [Persian].
- [21] Tabari H., Grismer M. E., Trajkovic S. Comparative analysis of 31 reference evapotranspiration methods under humid conditions. *Irrigation Science*. 2013; 31: 107-117.
- [22] Allen RG, Pereira LS, Raes D, Smith M. Crop Evapotranspiration. Guidelines for Computing Crop Water Requirements. *Irrigation and Drainage Paper No. 56*, FAO, Rome, Italy, 1998; 300 pp.
- [23] Farshadfar A. *Multivariate statistical principles and methods*. Publications of Razi University of Kermanshah. 2014. [Persian].
- [24] Azimi A, Rangzan K, Kaboulizade M, Khoramian M. Estimating of evapotranspiration using remote sensing, artificial neural network and comparison with the experimental method (Penman-Monteith-FAO). *Journal of RS and GIS for Natural Resources*. (2016); 6(4): 61-75.
- [25] Burges C.J. A tutorial on support vector machines for pattern recognition. *Data mining and knowledge discovery*. 1998; 2: 121-167
- [26] Norouzi Ghoshbalagh H, Nadiri A, Asghari Moghaddam A, Qarahkhani M. Comparison of the efficiency of artificial neural networks, fuzzy logic and random forest in estimating the aquifer transfer capability of Malekan plain. *Echo Hydrology*. 2018; 5(3): 739-751. [Persian]
- [27] Nosrati Karizak F, Movahedi Naeni SA, Hezarjaribi A. Using Artificial Neural Networks to estimate saturated hydraulic conductivity from easily available soil properties. *Journal of Soil Management and Sustainable Production*. 2012; 2(1): 95-110. [Persian].
- [28] Wosten JHM, Pachepsky Ya A, Rawls WJ. Pedotransfer functions: bridging the gap between available basic soil data and missing soil hydraulic characteristics. *Journal of Hydrology*. 2001; 251: 123–150.
- [29] Debeljak M, Džeroski S. Decision Trees in Ecological Modelling. In: Jopp, F., Reuter, H., Breckling, B. (eds), *Modelling Complex Ecological Dynamics*. 2011; (197-209). Springer, Berlin, Heidelberg.
- [30] Wang Y, Witten I.H. Inducing model trees for continuous classes. *In Proceedings of the Ninth European Conference on Machine Learning*. 1997; 128-137.
- [31] Breiman L. Application and analysis of random forests and machine learning. *Journal of Water Management*. 2001; 15(1): 5-32
- [32] Siasar H, Honar T. The application of support vector machine, chaid and random forest models in estimating daily reference transpiration evaporation in the north of Sistan and Baluchistan province. *Iran Irrigation and Drainage*. 2018; 2(13): 378-388. [Persian].
- [33] Joudy AR, Sattari MT. Estimation of scour depth of piers in hydraulic structures using Gaussian process regression. *Irrigation and Drainage Structures Engineering Research* 2015; 16(65): 19-36. [Persian].
- [34] Kuss M. *Gaussian process models for robust regression, classification, and reinforcement learning*. Ph. D. dissertation, Technische Universität Darmstadt, Darmstadt, Germany. 2006.
- [35] Saghebian M, Roushangar K. Prediction of total and bedform roughness coefficient in alluvial channels based on experimental data via Gaussian process regression method. *Iranian Journal of Irrigation and Drainage*. 2019; 2: 437-499. [Persian].
- [36] Mouneskhan V., Samadian Fard S., Mouneskhan M.H. Evaluation of Data Mining Methods and Experimental Temperature-Radiation-Based Models in Estimating Evaporation from the Pan (Case Study: East of Urmia Lake). *Iran water and soil research*. 2020; 51(9): 2348-2337.
- [37] Seifzadeh KH, Zare Haghi D, Samadianfard S, Neyshabouri MR, Mikaeili F. Estimation of Daily Evaporation from Class A Pan Using Five Data Mining Methods (Case Study: Tabriz Synoptic Station). *Water and Soil Science*. 2023; 3(4): 167-184.
- [38] Bidabadi M, Babazadeh H, Shiri J, Saremi A. Estimation of reference crop evapotranspiration (ET<sub>0</sub>) using artificial intelligence model in an arid climate with external data. *Applied Water Science*. 2024; 14: 3.

- [39] Soltani A, Mirltifi M, Dehghani Sanij H. Estimation of reference evapotranspiration using limited meteorological data in different climatic journal. *Water and soil*. 2013; 26(1): 139-149
- [40] Mousavi Baighi M, Erfanian M, Sarmad M. Using minimum meteorological data to estimate reference plant evapotranspiration and provide correction coefficient (case study: Razavi Khorasan province). *Water and Soil Journal*. 2018; 23(1): 91-99.